

Information Quantique
 Corrigé de l'examen du 17 Mai 2016

Exercice 1 (/10 pts)
 Interféromètre de Mach-Zehnder.

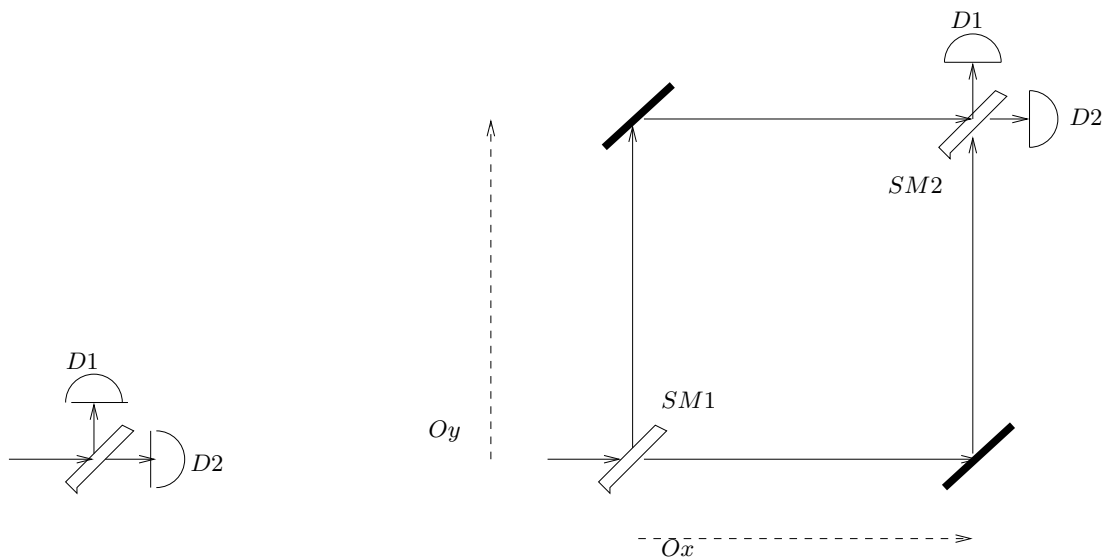


FIGURE 1 – Interféromètre de Mach-Zehnder.

1- La transformation unitaire décrivant le passage du photon à travers la lame semi-réfléchissante est (selon l'énoncé) $\frac{1}{\sqrt{2}} \begin{pmatrix} 1 & i \\ i & 1 \end{pmatrix}$. L'état du photon après la première lame ($SM1$) est donc :

$$\frac{1}{\sqrt{2}} \begin{pmatrix} 1 & i \\ i & 1 \end{pmatrix} \cdot \begin{pmatrix} 1 \\ 0 \end{pmatrix} = \begin{pmatrix} \frac{1}{\sqrt{2}} \\ \frac{i}{\sqrt{2}} \end{pmatrix}$$

La transformation unitaire décrivant le passage du photon à travers les miroirs est (selon l'énoncé) $\begin{pmatrix} 0 & i \\ i & 0 \end{pmatrix}$. L'état du photon après le passage dans le

couple de miroirs est donc :

$$\begin{pmatrix} 0 & i \\ i & 0 \end{pmatrix} \cdot \begin{pmatrix} \frac{1}{\sqrt{2}} \\ \frac{i}{\sqrt{2}} \end{pmatrix} = \begin{pmatrix} \frac{-1}{\sqrt{2}} \\ \frac{i}{\sqrt{2}} \end{pmatrix}$$

L'état du photon après la seconde lame (*SM2*) est :

$$\frac{1}{\sqrt{2}} \begin{pmatrix} 1 & i \\ i & 1 \end{pmatrix} \cdot \begin{pmatrix} \frac{-1}{\sqrt{2}} \\ \frac{i}{\sqrt{2}} \end{pmatrix} = \begin{pmatrix} -1 \\ 0 \end{pmatrix}$$

2- L'état du photon après la seconde lame exprime un déplacement horizontal du photon vers le détecteur D_2 (avec une phase (-1)). Autrement dit, l'état du photon est un état *propre* de l'observable associé aux détecteurs (D_1, D_2). Donc *avec probabilité 1*, on mesure le passage du photon dans D_2 . Le photon arrive dans le détecteur D_1 avec probabilité 0

Plaçons-nous dans le cas où un observateur mesure le passage du photon par le trajet de gauche (resp. de droite) après le miroir et juste avant la seconde lame semi-réfléchissante. Il utilise une observable dont les deux vecteurs propres sont $|x\rangle$ (cas où le photon est passé à gauche), et $|y\rangle$ (cas où le photon est passé à droite).

Rappelons que l'état du photon juste avant la mesure (du trajet choisi) est

$$|e\rangle = \begin{pmatrix} \frac{-1}{\sqrt{2}} \\ \frac{i}{\sqrt{2}} \end{pmatrix}$$

3- cas où le photon passe à gauche :

Ce cas se produit avec une probabilité égale à $|\langle x|e\rangle|^2 = \frac{1}{2}$

L'état après cette mesure est $|x\rangle$. L'état après cette mesure, puis le passage dans *SM2* est :

$$|e'\rangle = \frac{1}{\sqrt{2}} \begin{pmatrix} 1 & i \\ i & 1 \end{pmatrix} \cdot |x\rangle = \frac{1}{\sqrt{2}}(|x\rangle + i|y\rangle)$$

Il passe dans D_1 avec probabilité :

$$|\langle y|e'\rangle|^2 = \frac{1}{2}$$

et dans D_2 avec probabilité :

$$|\langle x|e'\rangle|^2 = \frac{1}{2}.$$

cas où le photon passe à droite :

Ce cas se produit avec une probabilité égale à $|\langle y|e\rangle|^2 = \frac{1}{2}$

L'état après cette mesure est $|y\rangle$. L'état après cette mesure, puis le passage dans SM2 est :

$$|e''\rangle = \frac{1}{\sqrt{2}} \begin{pmatrix} 1 & i \\ i & 1 \end{pmatrix} \cdot |y\rangle = \frac{1}{\sqrt{2}}(i|x\rangle + |y\rangle)$$

Il passe dans D_1 avec probabilité :

$$|\langle y|e''\rangle|^2 = \frac{1}{2}$$

et dans D_2 avec probabilité :

$$|\langle x|e''\rangle|^2 = \frac{1}{2}.$$

Finalement le photon est détecté dans D_1 :

- soit après avoir pris le trajet de gauche ($\text{Pr} = \frac{1}{2}$) puis avoir traversé la lame semi-réfléchissante vers D_1 ($\text{Pr} = \frac{1}{2}$) : ce cas survient avec probabilité $\frac{1}{4}$.

- soit après avoir pris le trajet de droite ($\text{Pr} = \frac{1}{2}$) puis avoir traversé la lame semi-réfléchissante vers D_1 ($\text{Pr} = \frac{1}{2}$) : ce cas survient avec probabilité $\frac{1}{4}$.

Le photon est détecté dans D_1 avec probabilité $\frac{1}{2}$.

Le photon est détecté dans D_2 avec probabilité $1 - \frac{1}{2} = \frac{1}{2}$.

Si l'on reproduit N fois cette expérience (avec un observateur qui mesure le passage du photon par la gauche ou la droite) le photon sera détecté en moyenne $N/2$ fois en D_1 , et $N/2$ fois en D_2 .

N.B. Le phénomène d'“auto-interférence” a *disparu*.

4- L'opérateur d'évolution du système décrivant A a pour matrice, dans la base $|x\rangle, |y\rangle$ (de l'espace des états de A)

$$\frac{-1}{\sqrt{2}} \begin{pmatrix} 1 & i \\ i & 1 \end{pmatrix} \cdot \begin{pmatrix} 0 & i \\ i & 0 \end{pmatrix} \cdot \frac{-1}{\sqrt{2}} \begin{pmatrix} 1 & i \\ i & 1 \end{pmatrix} = \begin{pmatrix} -1 & 0 \\ 0 & -1 \end{pmatrix}$$

L'opérateur d'évolution du système décrivant A' a la même matrice, dans la base $|x'\rangle, |y'\rangle$ (de l'espace des états de A'). L'opérateur d'évolution du système décrivant (A, A') est le produit tensoriel de ces deux opérateurs :

$$\begin{pmatrix} -1 & 0 \\ 0 & -1 \end{pmatrix} \otimes \begin{pmatrix} -1 & 0 \\ 0 & -1 \end{pmatrix}.$$

L'état du système (A, A') après la traversée des deux appareils est donc

$$\left(\begin{pmatrix} -1 & 0 \\ 0 & -1 \end{pmatrix} \otimes \begin{pmatrix} -1 & 0 \\ 0 & -1 \end{pmatrix} \right) \cdot (|x\rangle \otimes |x'\rangle) = \begin{pmatrix} -1 \\ 0 \end{pmatrix} \otimes \begin{pmatrix} -1 \\ 0 \end{pmatrix} = |x\rangle \otimes |x'\rangle.$$

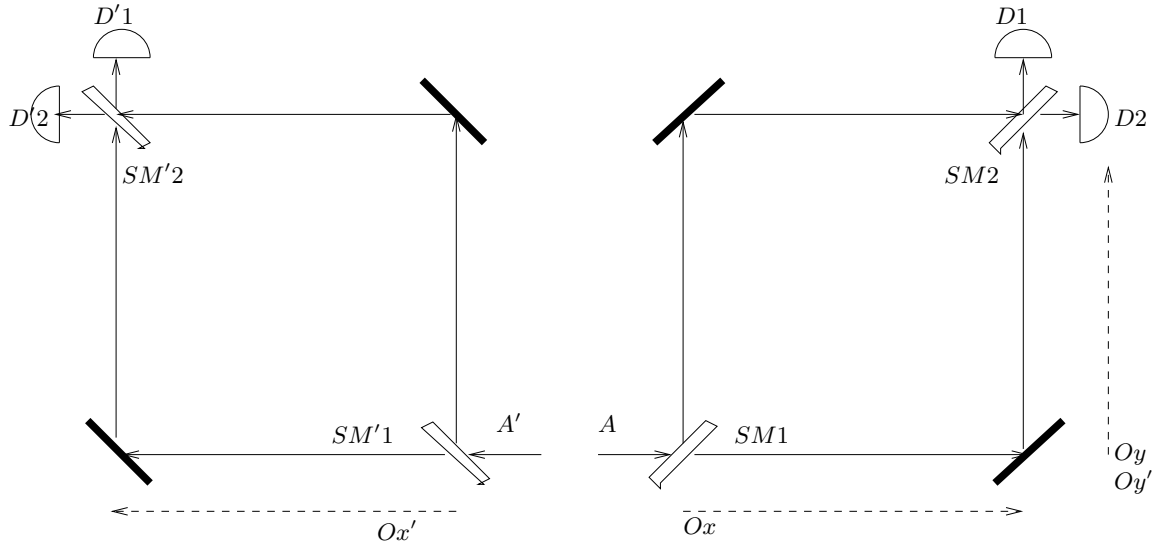


FIGURE 2 – Deux interféromètres de Mach-Zehnder.

Donc, avec probabilité 1, l'observateur du côté de A verra A passer dans D_2 et l'observateur du côté de A' verra A' passer dans D'_2 .

Examinons les idées de Cosinus.

5- Dans son scénario, l'état initial du système (A, A') est

$$\frac{1}{\sqrt{2}}(|x\rangle \otimes |x'\rangle + |y\rangle \otimes |y'\rangle).$$

Après le passage dans le miroir, l'état du système (A, A') est :

$$\begin{aligned} & \left(\begin{pmatrix} 0 & i \\ i & 0 \end{pmatrix} \otimes \begin{pmatrix} 0 & i \\ i & 0 \end{pmatrix} \right) \cdot \frac{1}{\sqrt{2}}(|x\rangle \otimes |x'\rangle + |y\rangle \otimes |y'\rangle) \\ &= \frac{-1}{\sqrt{2}}(|y\rangle \otimes |y'\rangle + |x\rangle \otimes |x'\rangle). \end{aligned}$$

6- 6.1 cas où Cosinus ne fait pas de mesure (il "transmet" 0),
L'état du système (A, A') , sans mesure de Cosinus (s'il transmet 0), avant $SM2$ est l'état obtenu en Q5 :

$$\frac{-1}{\sqrt{2}}(|y\rangle \otimes |y'\rangle + |x\rangle \otimes |x'\rangle).$$

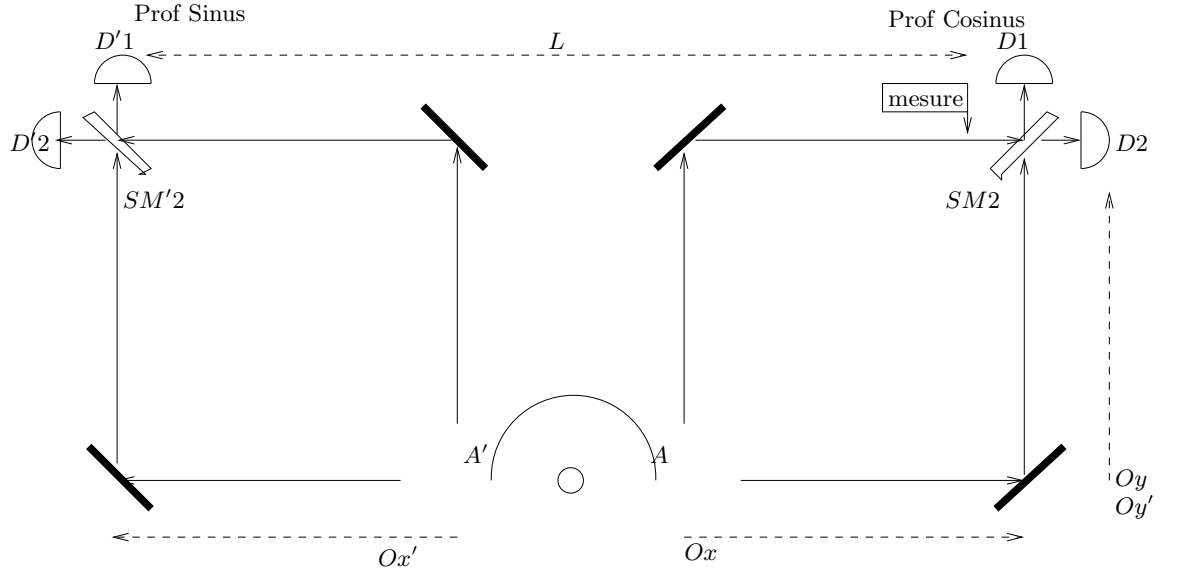


FIGURE 3 – Photons intriqués dans Mach-Zehnder.

L'état obtenu après $SM2$ est :

$$\begin{aligned}
 & \frac{1}{2} \left(\begin{pmatrix} 1 & i \\ i & 1 \end{pmatrix} \otimes \begin{pmatrix} 1 & i \\ i & 1 \end{pmatrix} \right) \cdot \frac{-1}{\sqrt{2}} (|y\rangle \otimes |y'\rangle + |x\rangle \otimes |x'\rangle) \\
 &= \frac{-1}{2\sqrt{2}} [(|x\rangle + i|y\rangle) \otimes (|x'\rangle + i|y'\rangle) + (i|x\rangle + |y\rangle) \otimes (i|x'\rangle + |y'\rangle)] \\
 &= \frac{-1}{2\sqrt{2}} [2i(|x\rangle \otimes |y'\rangle) + 2i(|y\rangle \otimes |x'\rangle)] \\
 &= \frac{-i}{\sqrt{2}} [|x\rangle \otimes |y'\rangle + |y\rangle \otimes |x'\rangle]
 \end{aligned}$$

6.2 cas où Cosinus fait une mesure (il “transmet” 1),

L'état du système (A, A') , avant la mesure de Cosinus est l'état obtenu en Q5 :

$$\frac{-1}{\sqrt{2}} (|y\rangle \otimes |y'\rangle + |x\rangle \otimes |x'\rangle).$$

L'état du système (A, A') , après la mesure de Cosinus est :

cas 1 : avec $\text{Pr} = \frac{1}{2}$

$$(-1) |x\rangle \otimes |x'\rangle$$

cas 2 : avec $\text{Pr} = \frac{1}{2}$

$$(-1) |y\rangle \otimes |y'\rangle.$$

L'état du système (A, A') avant $SM2$ est celui donné ci-dessus.

L'état du système (A, A') après $SM2$ est :

dans le cas 1

$$\begin{aligned} & \frac{-1}{2} \left(\begin{pmatrix} 1 & i \\ i & 1 \end{pmatrix} \otimes \begin{pmatrix} 1 & i \\ i & 1 \end{pmatrix} \right) \cdot (|x\rangle \otimes |x'\rangle) \\ = & \frac{-1}{2} (|x\rangle + i|y\rangle) \otimes (|x'\rangle + i|y'\rangle) \\ = & \frac{-1}{2} [|x\rangle |x'\rangle + i|y\rangle |x'\rangle + i|x\rangle |y'\rangle - |y\rangle |y'\rangle] \end{aligned}$$

dans le cas 2

$$\begin{aligned} & \frac{-1}{2} \left(\begin{pmatrix} 1 & i \\ i & 1 \end{pmatrix} \otimes \begin{pmatrix} 1 & i \\ i & 1 \end{pmatrix} \right) \cdot (|y\rangle \otimes |y'\rangle) \\ = & \frac{-1}{2} (i|x\rangle + |y\rangle) \otimes (i|x'\rangle + |y'\rangle) \\ = & \frac{1}{2} [|x\rangle |x'\rangle - i|y\rangle |x'\rangle - i|x\rangle |y'\rangle - |y\rangle |y'\rangle] \end{aligned}$$

7- Ce qu'observe le professeur Sinus dans le cas où Cosinus "transmet" 0 :
il mesure A' avec une observable de vecteurs propres $|x'\rangle, |y'\rangle$. Il projette donc l'état du système, avec $\text{Pr} = \frac{1}{2}$ sur :

$$-i |y\rangle \otimes |x'\rangle]$$

et voit A' passer dans D'_2

ou alors, avec $\text{Pr} = \frac{1}{2}$ sur :

$$-i |x\rangle \otimes |y'\rangle]$$

et voit A' passer dans D'_1 .

Ce qu'observe le professeur Sinus dans le cas où Cosinus "transmet" 1

dans le cas 1 : il mesure A' avec une observable de vecteurs propres $|x'\rangle, |y'\rangle$.

Il projette donc l'état du système, avec $\text{Pr} = \frac{1}{2}$ sur :

$$\frac{1}{\sqrt{2}} [-|x\rangle |x'\rangle - i|y\rangle |x'\rangle]$$

et voit A' passer dans D'_2
ou alors, avec $\text{Pr} = \frac{1}{2}$ sur :

$$\frac{1}{\sqrt{2}}[-i|x\rangle|y'\rangle + |y\rangle|y'\rangle]$$

et voit A' passer dans D'_1 .

dans le cas 2 : un calcul similaire montre que A' est observé dans D'_1 avec $\text{Pr} = \frac{1}{2}$.

Comme les deux cas sont équiprobables, Sinus détecte A' en D'_1 avec probabilité $\frac{1}{2}$.

8- Cosinus a-t-il réussi à transmettre une information à une vitesse deux fois supérieure à celle de la lumière ?

NON : les observations de Sinus ont la même loi de probabilité lorsque Cosinus “transmet 0” et lorsque Cosinus “transmet 1” :

D'_1 avec $\text{Pr} = \frac{1}{2}$, D'_2 avec $\text{Pr} = \frac{1}{2}$.

Sinus ne peut donc pas déduire de ses mesures une information concernant le choix de Cosinus (transmettre 0 ou transmettre 1).

Exercice 2 (/10 pts)

Ordre multiplicatif d'un nombre a modulo N .

On a introduit (dans le cours sur l'algorithme de Shor) l'opérateur $U : \mathcal{B}^{\otimes n} \rightarrow \mathcal{B}^{\otimes n}$:

$$\begin{aligned} U|x\rangle &:= |a \cdot x \pmod{N}\rangle \text{ si } 0 \leq x \leq N-1 \\ U|x\rangle &:= |x\rangle \text{ si } N \leq x \leq 2^n - 1. \end{aligned}$$

1- U envoie la base canonique sur elle-même, donc U est unitaire.

2.1 Supposons que $U^k = I$.

alors $U^k|1\rangle = |1\rangle$. Par ailleurs, $U^k|1\rangle = |a^k \pmod{N}\rangle$. Donc

$$a^k \equiv 1 \pmod{N}.$$

2.2 Supposons que $a^k \equiv 1 \pmod{N}$. Soit $x \in [0, N-1]$. On a $x^k \cdot x \equiv 1 \cdot x \pmod{N}$ donc $U^k|x\rangle = |x\rangle$.

Si $x \in [N, 2^n - 1]$, on a $U^k|x\rangle = |x\rangle$ et donc $U^k|x\rangle = |x\rangle$. Finalement : $U^k = I$.

3- Comme le polynôme $X^r - 1$ annule U , le spectre de U est inclus dans l'ensemble des zéros de $X^r - 1$, c'est à dire :

$$\{e^{\frac{2i\pi j}{r}} \mid 0 \leq j \leq r-1\}.$$

4- Soit $j \in [0, r - 1]$. On note $\omega_j = e^{\frac{2i\pi j}{r}}$.
Calculer le polynôme $D_j \in \mathbb{C}[X]$ tel que

$$X^r - 1 = (X - \omega_j) \cdot D_j.$$

D'après l'identité

$$X^k - Y^k = (X - Y)(X^{k-1}Y^0 + \dots + X^\ell Y^{k-\ell-1} + \dots + X^0 Y^{k-1}).$$

on a

$$X^k - \omega_j^k = (X - \omega_j)(X^{k-1}\omega_j^0 + \dots + X^\ell \omega_j^{k-\ell-1} + \dots + X^0 \omega_j^{k-1}).$$

Donc

$$D_j = (X^{k-1}\omega_j^0 + \dots + X^\ell \omega_j^{k-\ell-1} + \dots + X^0 \omega_j^{k-1}).$$

5- On pose $|\varphi_j\rangle := D_j(U) \cdot |1\rangle$.

Comme le polynôme $(X - \omega_j)D_j$ annule U , on a :

$$(U - \omega_j I) \circ D_j(U) = 0$$

donc, pour tout vecteur $|u\rangle$ on a

$$D_j(U) \cdot |u\rangle \in \text{Ker}(U - \omega_j I).$$

Dans le cas du vecteur $|1\rangle$ on a :

$$\begin{aligned} D_j(U) \cdot |1\rangle &= \left(\sum_{\ell=0}^{r-1} U^\ell \omega_j^{r-\ell-1} \right) |1\rangle \\ &= \sum_{\ell=0}^{r-1} \omega_j^{r-\ell-1} |a^\ell\rangle \end{aligned}$$

qui est non-nul : les $|a^\ell\rangle$ sont des vecteurs deux à deux distincts de la base canonique, donc les coordonnées dans la base canonique de $|\varphi_j\rangle$ sont non-nulles. Donc $|\varphi_j\rangle \neq \vec{0}$.

On en déduit que le spectre de U est exactement $\{e^{\frac{2i\pi j}{r}} \mid 0 \leq j \leq r - 1\}$.

6- Calculons les produits scalaires $\langle \varphi_j | \varphi_k \rangle$ pour $j, k \in [0, r - 1]$.

$$\begin{aligned} |\varphi_j\rangle &= \sum_{\ell=0}^{r-1} e^{\frac{-2i\pi j(\ell+1)}{r}} U^\ell |1\rangle \\ &= \sum_{\ell=0}^{r-1} e^{\frac{-2i\pi j(\ell+1)}{r}} U^\ell |1\rangle \\ &= \sum_{\ell=0}^{r-1} \omega_{\ell+1}^j |a^\ell\rangle \end{aligned}$$

Sachant que les $|a^\ell\rangle$ forment une famille orthonormée, on obtient :

$$\begin{aligned}\langle \varphi_j | \varphi_k \rangle &= \sum_{\ell=0}^{r-1} \overline{\omega_{\ell+1}}^j \omega_{\ell+1}^k \\ &= \sum_{\ell=0}^{r-1} \omega_{\ell+1}^{k-j}.\end{aligned}$$

cas 1 : $j = k$

Alors

$$\langle \varphi_j | \varphi_k \rangle = \sum_{\ell=0}^{r-1} 1 = r.$$

cas 2 : $j \neq k$

Alors $\omega_{\ell+1}^{k-j}$ annule le polynôme $X^r - 1$ sans annuler $X - 1$, donc il annule le quotient $\frac{X^r - 1}{X - 1} = \sum_{\ell=0}^{r-1} X^\ell$, donc

$$\langle \varphi_j | \varphi_k \rangle = 0.$$

La famille $(|\varphi_j\rangle)_{j \in [0, r-1]}$ est orthogonale et la norme de chacun de ses vecteurs est \sqrt{r} . Donc la famille $(|\psi_j\rangle)_{j \in [0, r-1]}$, qui est obtenue en la quotientant par \sqrt{r} , est orthonormée.

7- Calculons la somme des vecteurs $|\psi_j\rangle$.

$$\begin{aligned}\sum_{j=0}^{r-1} |\psi_j\rangle &= \frac{1}{\sqrt{r}} \sum_{j=0}^{r-1} \omega_j \left(\sum_{\ell=0}^{r-1} \omega_j^{-\ell-1} U^\ell |1\rangle \right) \\ &= \frac{1}{\sqrt{r}} \sum_{j=0}^{r-1} \left(\sum_{\ell=0}^{r-1} \omega_j^{-\ell} |a^\ell\rangle \right) \\ &= \frac{1}{\sqrt{r}} \sum_{\ell=0}^{r-1} \left(\sum_{j=0}^{r-1} \omega_j^{-\ell} \right) |a^\ell\rangle\end{aligned}\tag{1}$$

Notons $c(\ell)$ le coefficient de $|a^\ell\rangle$ dans la somme ci-dessus.

cas 1 : $\ell = 0$

Alors

$$c(\ell) = \frac{1}{\sqrt{r}} \sum_{j=0}^{r-1} \omega_j^0 = \sqrt{r}.$$

cas 2 : $\ell \neq 0$

Alors, par les arguments utilisés à la question 6, $c(\ell) = 0$.

En remplaçant dans l'évaluation (1), chaque coefficient $c(\ell)$ par sa valeur, on obtient

$$\sum_{j=0}^{r-1} |\psi_j\rangle = \sqrt{r} |1\rangle.$$

N.B. Erreur dans le texte donc : le coefficient \sqrt{r} manquait. Mais comme la famille $(|\psi_j\rangle)_{j \in [0, r-1]}$ est orthonormée, sa somme a une norme égale à \sqrt{r} , alors que $|1\rangle$ est unitaire!¹

8- Appliquons V au vecteur $|0\rangle \otimes |1\rangle \in \mathcal{B}^{\otimes n} \otimes \mathcal{B}^{\otimes n}$; on obtient un état

$$|\eta\rangle := V |0\rangle |1\rangle.$$

Mesurons les n premiers q-bits de cet état : on utilise une observable \mathcal{O} et on obtient un résultat (aléatoire) $y \in [0, 2^n - 1]$. Analysons la loi de y .

Soit $j \in [0, r - 1]$.

On a

$$|\eta\rangle = \frac{1}{\sqrt{r}} [|\alpha_1\rangle |\psi'_1\rangle + \dots + |\alpha_\ell\rangle |\psi'_\ell\rangle + \dots + |\alpha_{r-1}\rangle |\psi'_{r-1}\rangle].$$

Notons $H_j \subseteq \mathcal{B}^{\otimes n}$ le sous-espace propre associé à la valeur propre j de l'observable \mathcal{O} . Notons $\text{pr}_{E_j} : \mathcal{B}^{\otimes n} \rightarrow \mathcal{B}^{\otimes n}$ la projection orthogonale sur ce sous-espace E_j . On a :

$$(\text{pr}_{E_j} \otimes Id_{2^n}) |\eta\rangle = \frac{1}{\sqrt{r}} \cdot \sum_{\ell=0}^{r-1} \text{pr}_{E_j} |\alpha_\ell\rangle \otimes |\psi'_\ell\rangle$$

Comme les vecteurs $|\psi'_\ell\rangle$ forment une famille orthonormée, les vecteurs $(\text{pr}_{E_j} |\alpha_\ell\rangle) \otimes |\psi'_\ell\rangle$ sont, eux-aussi, orthogonaux deux à deux; donc

$$\begin{aligned} \|\text{pr}_{E_j} \otimes Id_{2^n} |\eta\rangle\|^2 &= \frac{1}{r} \cdot \sum_{\ell=0}^{r-1} \|\text{pr}_{E_j} |\alpha_\ell\rangle \otimes |\psi'_\ell\rangle\|^2 \\ &= \frac{1}{r} \cdot \sum_{\ell=0}^{r-1} \|\text{pr}_{E_j} |\alpha_\ell\rangle\|^2 \\ &\geq \frac{1}{r} \cdot \|\text{pr}_{E_j} |\alpha_j\rangle\|^2 \\ &\geq \frac{1}{r} \cdot \frac{8}{\pi^2}. \end{aligned}$$

1. mea culpa; tout étudiant remarquant cette erreur reçoit, bien évidemment, des points supplémentaires.

D'après l' énoncé de Q7, ce carré de norme de projection est la probabilité que la mesure de l'observable \mathcal{O} donne un résultat y vérifiant

$$\left| \frac{j}{r} - \frac{y}{2^n} \right| \leq \frac{1}{2^n}.$$

Autrement dit, dans l'état $|\eta\rangle$ on a :

$$\Pr\left\{ \left| \frac{j}{r} - \frac{y}{2^n} \right| \leq \frac{1}{2^n} \right\} \geq \frac{8}{r\pi^2}. \quad (2)$$

Comme, pour des valeurs de j différentes, les événements

$$\left\{ \left| \frac{j}{r} - \frac{y}{2^n} \right| \leq \frac{1}{2^n} \right\}$$

sont disjoints, on en conclut que

$$\begin{aligned} \Pr\{\exists j \in [0, r-1] \mid \left| \frac{j}{r} - \frac{y}{2^n} \right| \leq \frac{1}{2^n}\} &\geq \sum_{j=0}^{r-1} \frac{8}{r\pi^2} \\ &= \frac{8}{\pi^2} \end{aligned} \quad (3)$$

9- On répète deux fois le calcul de la question 8 : on obtient deux valeurs $y, y' \in [0, 2^n - 1]$.

Avec une probabilité $\geq \frac{64}{\pi^4}$ (car ces deux calculs sont indépendants) on obtient des y, y' tels que :

$$\exists j, j' \in [0, r-1] \mid \left| \frac{j}{r} - \frac{y}{2^n} \right| \leq \frac{1}{2^n} \text{ et } \left| \frac{j'}{r} - \frac{y'}{2^n} \right| \leq \frac{1}{2^n}.$$

En supposant que $2^n \geq r^2$, en développant en fraction continue $\frac{y}{2^n}$ puis $\frac{y'}{2^n}$ on obtient, en temps polynomial, des nombres rationnels

$$\frac{j}{r}, \frac{j'}{r}.$$

N.B. mais on ne connaît pas encore les *couples de nombres entiers* $(j, r) \cdot (j', r)$

La proportion de couples (j, j') premiers entre eux dans $[0, n-1]$ tend vers $\frac{6}{\pi^2}$ lorsque n tend vers l'infini. Donc, il existe $r_0 \in \mathbf{N}$ tel que, pour $r \geq r_0$,

$$\text{Card}\{(j, j') \in [0, r-1] \times [0, r-1] \mid j \wedge j' = 1\} \geq \frac{3}{\pi^2} r^2$$

Pour chaque couple $(j, j') \in [0, r-1] \times [0, r-1] \mid j \wedge j' = 1$, la minoration (2) s'applique. On en conclut que, la probabilité que les deux mesures fournissent des rationnels $\frac{j}{r}$, $\frac{j'}{r}$ avec $j \wedge j' = 1$ est plus grande que

$$\frac{8}{\pi^2} \cdot \frac{8}{\pi^2} \cdot \frac{3}{\pi^2}.$$

On suppose désormais que $j \wedge j' = 1$.

Pour tous rationnels

$$s = \prod_{k=1}^{\ell} p_k^{e_k}, \quad t = \prod_{k=1}^{\ell} p_k^{f_k}$$

où les p_k sont des nombres premiers et $e_k, f_k \in \mathbb{Z}$, nous noterons

$$s \wedge t := \prod_{k=1}^{\ell} p_k^{\min(e_k, f_k)}, \quad s \vee t := \prod_{k=1}^{\ell} p_k^{\max(e_k, f_k)}.$$

N.B. lorsque s, t sont entiers, $s \wedge t$ est le pgcd de s, t et $s \vee t$ est le ppcm de s, t .

Supposons que les décompositions de r, j, j' en facteurs premiers sont :

$$r = \prod_{k=1}^{\ell} p_k^{e_k}, \quad j = \prod_{k=1}^{\ell} p_k^{f_k}, \quad j' = \prod_{k=1}^{\ell} p_k^{g_k}.$$

Alors

$$\frac{r}{j} = \prod_{k=1}^{\ell} p_k^{e_k - f_k}, \quad \frac{r}{j'} = \prod_{k=1}^{\ell} p_k^{e_k - g_k}$$

et comme $j \wedge j' = 1$, $f_k \cdot g_k = 0$, donc $\max\{e_k - f_k, e_k - g_k\} = e_k$, ce qui montre que

$$\frac{r}{j} \vee \frac{r}{j'} = r$$

On peut ainsi calculer r , en temps polynomial, à partir de $\frac{j}{r}$ et $\frac{j'}{r}$:

- on connaît $\frac{j}{r}$ sous forme d'une fraction $\frac{p}{q}$
- on connaît $\frac{j'}{r}$ sous forme d'une fraction $\frac{p'}{q'}$

On calcule

$$\begin{aligned} r &= \frac{q}{p} \vee \frac{q'}{p'} \\ &= \frac{qp'}{pp'} \vee \frac{q'p}{pp'} \\ &= \frac{qp' \vee q'p}{pp'} \\ &= \frac{qp'q'p}{(qp' \wedge q'p)pp'} \\ &= \frac{qq'}{qp' \wedge qp'} \end{aligned}$$

Le calcul de $qp' \wedge q'p$ par l'algorithme d'Euclide prend un temps polynomial (par rapport à n).